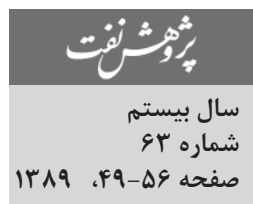


بررسی ترمودینامیکی حلالیت گاز سولفید هیدروژن در محلول آبی DEA و MDEA،MEA،DIPA



مهدی وحیدی^{*}، صمد شهری^۱، مهدی گوهرخی^۲، حمیدرضا خاکدامن^۱، آیدین عبداله نژاد^۲،
مسیح حسینی جناب^۱

- ۱- پژوهشگاه صنعت نفت، پژوهشکده گاز
- ۲- پالایشگاه نفت تبریز، واحد تحقیق و توسعه
- ۳- دانشگاه آزاد اسلامی، واحد تهران جنوب

Vahidim@ripi.ir

مورد بحث MDEA،MEA،DIPA و DEA به ترتیب مقادیر ۱/۴۸، ۲/۷۵، ۱/۲۷ و ۱/۹۲ بود.

واژه‌های کلیدی: حلالیت، سولفید هیدروژن، آلکانول آمین، مدل‌سازی ترمودینامیکی

مقدمه

گازهای اسیدی باعث به وجود آمدن مشکلاتی چون مسمومیت کاتالیست و خوردگی در فرایندهای گازی می‌شوند، لذا خارج ساختن این مواد از جمله دی اکسید کربن، سولفید هیدروژن و دی اکسید گوگرد از گازهای طبیعی یک مرحله لازم در بسیاری از فرایندهای پالایش گاز است [۱]. امروزه محلول‌های آلکانول آمین به طور وسیعی به منظور حذف گازهای اسیدی از جریان گاز به عنوان مثال گاز طبیعی و گاز سنتز مورد استفاده قرار می‌گیرند. میل دی اتانول آمین (MDEA) یک آمین نوع سوم بوده و یکی از آلکانول آمین‌های مورد توجه در جداسازی و از بین بردن گازهای اسیدی است. به دلایل متعددی چون گرمای

چکیده

آزمایش‌های حلالیت، برای گاز سولفید هیدروژن در محلول آبی میل دی اتانول آمین (MDEA)، دی اتانول آمین (DEA)، مونو اتانول آمین (MEA) و دی ایزو پروپانول آمین (DIPA) در دماهای ۴۰، ۵۵ و ۷۰ درجه سانتیگراد و فشارهای جزئی H_2S از ۲۰ تا ۵۰۰ KPa انجام شد و داده‌های حلالیت برای این آلکانول آمین‌ها به دست آمد. این داده‌ها با استفاده از یک اتوکلاو به حجم ۲۵۰ میلی‌لیتر مجهز به فشارسنج با دقت ۰/۷ KPa و کنترل کننده دما با دقت ۱ °C و همزن مغناطیسی انجام گرفت. ترکیب فاز مایع با استفاده از دستگاه گاز کروماتوگراف و آشکارساز یونش شعله‌ای آنالیز شد. داده‌های حلالیت با استفاده از مدل کنت-ایزنبرگ توسعه یافته مقایسه شد و ثوابت تعادل مرحله پروتونه شدن هر آلکانول آمین بر حسب درجه حرارت، فشار جزئی گاز سولفید هیدروژن و غلظت آمین به دست آمد. در تمام موارد مشخص شد که مدل کنت-ایزنبرگ توسعه یافته، قادر به پیش‌گویی صحیح ثابت تعادل مرحله پروتونه شدن هر آلکانول آمین می‌باشد. متوسط خطای مطلق برای چهار آمین

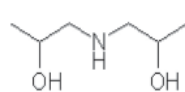
بخش تجربی

محلول‌های آمین با استفاده از مواد MDEA(Riedel, 98.5%), DIPA(Merck, 98%)،MEA(Riedel, 99%) با آب دیونیزه با غلاظت‌های موردنظر تهیه شدند و گاز سولفید هیدروژن (H_2S) با درصد خلوص بسیار بالا (۹۹/۹۹ درصد) فراهم شد.

اندازه‌گیری حلالیت H_2S در محلول آمین در یک سل تعادلی (اتوکلاو) با حجم کل ۲۵۰ میلی‌لیتر مجهز به کترولر دیجیتالی دما ($C \pm 1^\circ$) و فشارسنج دیجیتالی Brooks با دقت (± 0.01 bar) و همزن مغناطیسی انجام گرفت (شکل ۲). در دمای محیط، حلال آمین پس از تخلیه هوای درون سل به آن تزریق شده و کنترل کننده دما و همزن روشن شد. پس از رسیدن دمای محلول به دمای موردنظر، فشار بالای محلول در سل ثابت و سپس H_2S وارد سیستم شد. پس از زمانی (حدود ۲ ساعت) که فشار به تعادل رسید با خاموش کردن همزن، از محلول آمین نمونه‌برداری شد. نمونه‌های آمین و H_2S توزین شده و محلول ید با غلاظت مشخص ($M \pm 0.05$) به ظرف نمونه حاوی آمین و H_2S اضافه و به مدت ۱۰ الی ۱۵ دقیقه به هم زده شد. سپس H_2S با روش تیتراسیون برگشتی ید-تیو سولفات در حضور شناساگر نشاسته تعیین شد. مقدار آمین نیز به روش توزین و دانسیته محلول آمین بدست آمد. قبل از انجام آزمایش‌ها و به دست آوردن داده‌های حلالیت، بایستی با چند مقاله داده‌های حلالیت مقایسه شده تا صحت داده‌ها مشخص گردد. به این منظور با استفاده از چند مقاله، و در شرایط مختلف داده‌های به دست آمده از سیستم تست حلالیت با داده‌های مقالات مقایسه شده [۳-۵] و نتایج در جدول ۱ آورده شده است. همان‌طوری که در این جدول مشاهده می‌شود، داده‌های به دست آمده توافق خوبی با داده‌های مقالات دارند و این مطلب به این معنی است که سیستم مورد آزمایش دارای دقت قابل قبولی است. اشکال ۳ تا ۶ این داده‌ها را به صورت منحنی نمایش می‌دهند. تمامی داده‌ها سه بار تکرار شده و میانگین آنها گزارش شده است. ضمن اینکه تکرار پذیری نتایج تجربی در محدوده $\pm 1\%$ می‌باشد.

1.Loss

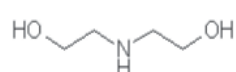
واکنش کمتر و اثر خورندگی کمتر نسبت به آمین‌های نوع سوم و اینکه با H_2S انتخابی‌تر عمل می‌کند، استفاده از آن بیش از آمین‌های دیگر است [۲]. همچنین به دلیل پائین بودن فشار بخار، دارای مقدار کاهش کمتری^۱ است و می‌توان غلاظت بالایی از آن را ساخت و نیز در واکنش‌های کاهش عیار و فساد آمین شرکت نکرده و خورنده نیست و به مقدار کم با هیدروکربن‌ها قابل اختلاط است. دی ایزو پروپانول آمین (DIPA) یک آمین نوع دوم بوده و در فرایندهای SCOT و Adip، Sulfinol هستند. محلول‌های DIPA، خورندگی کمتری نسبت به دیگر الکانول آمین‌های نوع دوم دارند [۳] و گزینش پذیری H_2S بیشتری نسبت به CO_2 دارند و نیز قادر به حذف COS بدون متحمل شدن واکنش‌های کاهش عیار می‌باشند. مونوآتانول آمین (MEA) یک باز قوی و یک آمین نوع اول بوده و یک حلال مناسب برای گازهایی است که شامل مقادیر کم CO_2 و H_2S و فاقد COS و یا CS_2 می‌باشد. به دلیل زیاد بودن فشار بخار، در غلاظت‌های بالا نمی‌توان از آن استفاده کرد ضمن اینکه به راحتی واکنش‌های کاهش عیار را انجام می‌دهد. دی اتانول آمین (DEA) یک آمین نوع دوم بوده و نسبت به MEA باز ضعیفتری است و نسبت به آن با H_2S انتخابی‌تر عمل می‌کند و با CS_2 واکنش نمی‌دهد ضمناً چون باز ضعیفتری است به دمای کمتری در واکنش بازیابی نیاز دارد دی گلیکول آمین (DGA) یک آمین نوع اول و بازی قوی است و می‌تواند به عنوان عامل جذب رطوبت نیز به کار رود. شکل ۱، ساختمان گستردۀ چهار الکانول آمین مورد بحث یعنی DIPA، MDEA، DEA، MEA می‌داند.



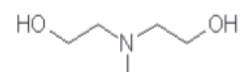
مونوآتانول آمین (MEA) دی ایزوپروپانول آمین (DIPA)



مونوآتانول آمین (MEA) دی ایزوپروپانول آمین (DIPA)

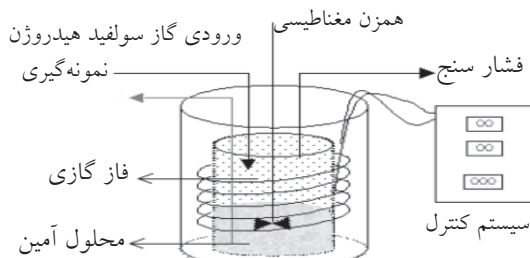


متیل دی اتانول آمین (MDEA) دی اتانول آمین (DEA)



متیل دی اتانول آمین (MDEA) دی اتانول آمین (DEA)

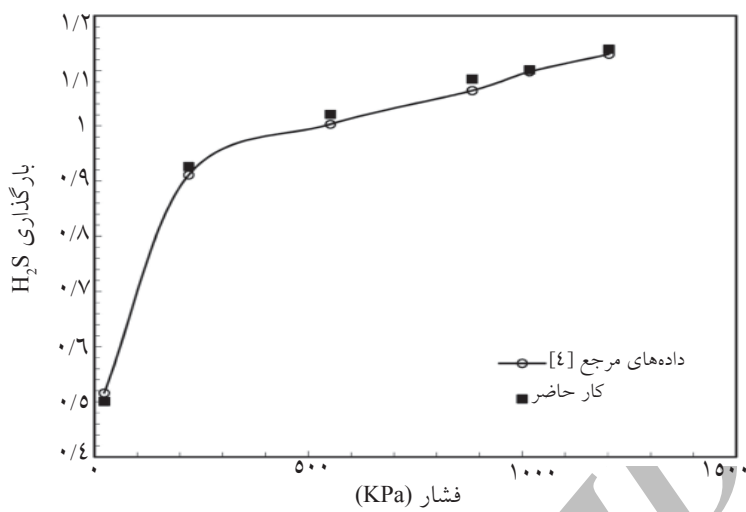
شکل ۱- ساختمان گستردۀ MDEA، DEA، MEA و DIPA



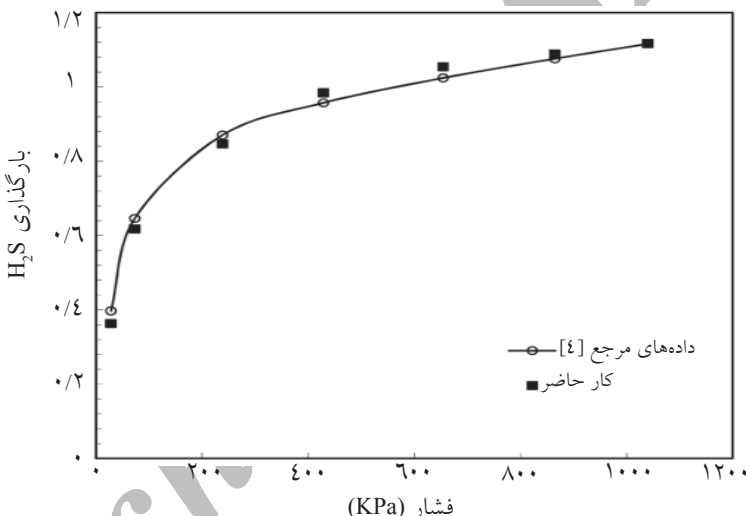
شکل ۲- شماتیک سیستم اندازه‌گیری حلایت گازها در مایعات

جدول ۱- نتایج مقایسه داده‌های حلایت با داده‌های منابع مختلف

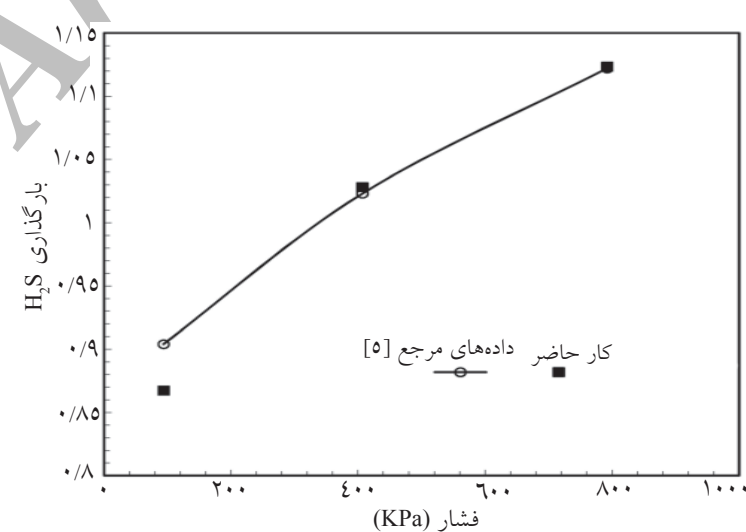
دما بر حسب درجه کلوین	P_{H2S} (KPa)	$\alpha_{Literature}$	$\alpha_{This\ Work}$	انحراف معیار	شماره مرجع
(DEA) ۴۱/۲۸ درصد وزنی (۳/۹۱۷۸ مولار) دی اتانول آمین					
۳۱۳/۱۷	۲۳/۰۸	۰/۰۱۶	۰/۰۰۰۷	۰/۰۵	۴
۳۱۳/۱۷	۲۲۰/۰۳	۰/۹۱۱	۰/۹۲۶۳	۰/۰۴	۴
۳۱۳/۱۷	۵۰۱/۰۲	۱/۰۰۳	۱/۰۲۱۰	۰/۰۶	۴
۳۱۳/۱۷	۸۸۲/۹۸	۱/۰۶۴	۱/۰۸۵۱	۰/۰۴	۴
۳۱۳/۱۷	۱۰۱۶/۶۰	۱/۰۹۸	۱/۱۰۸۳	۰/۰۷	۴
۳۱۳/۱۷	۱۲۰۲/۸۰	۱/۱۳۰	۱/۱۳۹۴	۰/۰۹	۴
(MDEA) ۴۶/۷۸ درصد وزنی (۰/۰۰۴۴ مولار) متیل دی اتانول آمین					
۳۱۳/۱۶	۲۷/۶۶	۰/۳۹۷	۰/۳۶۲۳	۰/۰۸	۴
۳۱۳/۱۶	۷۲/۶۳	۰/۶۴۶	۰/۶۱۸۲	۰/۰۶	۴
۳۱۳/۱۶	۲۳۸/۰۴	۰/۸۷۰	۰/۸۴۶۶	۰/۰۶	۴
۳۱۳/۱۶	۴۲۸/۵۲	۰/۹۵۷	۰/۹۸۴۱	۰/۰۳	۴
۳۱۳/۱۶	۶۵۴/۱۴	۱/۰۲۴	۱/۰۵۴۲	۰/۰۴	۴
۳۱۳/۱۶	۸۶۴/۶۴	۱/۰۷۶	۱/۰۸۸۳	۰/۰۳	۴
۳۱۳/۱۶	۱۱۴۰/۰۰	۱/۱۱۶	۱/۱۱۷۲	۰/۰۵	۴
(MEA) ۱۵/۰۱ درصد وزنی (۰/۰۴۷۹۹ مولار) مونو اتانول آمین					
۲۹۸/۱۵	۹۲/۳۹	۱/۹۹۰	۱/۰۰۹۴	۰/۰۹	۵
۲۹۸/۱۵	۳۵۳/۰۰	۱/۱۰۰	۱/۱۴۰۴	۰/۰۸	۵
۳۱۳/۱۵	۲۸/۳۴	۰/۸۴۶	۰/۸۴۶۸	۰/۰۷	۵
۳۱۳/۱۵	۱۴۶/۲۰	۰/۹۸۹	۱/۰۰۱۳	۰/۰۶	۵
۳۱۳/۱۵	۹۳/۷۷	۰/۹۰۴	۰/۸۶۷۳	۰/۰۵	۵
۳۱۳/۱۵	۴۰۶/۸۰	۱/۰۲۳	۰/۰۲۸۲	۰/۰۵	۵
۳۱۳/۱۵	۷۹۲/۲۰	۱/۱۲۲	۱/۱۲۳۴	۰/۰۴	۵
(DIPA) ۳۳/۵۰ درصد وزنی (۰/۵۰۰۰ مولار) دی ایزو پروپانول آمین					
۳۱۳/۱۵	۱۰/۰۰	۰/۳۳۵	۰/۱۴۸۶	۰/۰۶	۳
۳۱۳/۱۵	۳۱/۶۰	۰/۵۶۵	۰/۴۹۰۲	۰/۰۷	۳
۳۱۳/۱۵	۱۰۰/۰۰	۰/۷۵۲	۰/۷۷۰۸	۰/۰۸	۳
۳۱۳/۱۵	۳۱۶/۰۰	۰/۹۰۲	۰/۹۸۶۵	۰/۰۵	۳



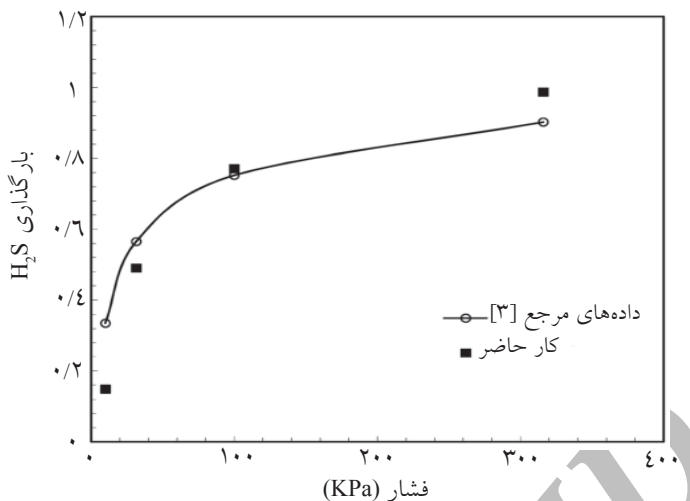
شکل ۳- مقایسه حلالت H_2S در محلول ۴۱/۷۸ درصد وزنی DEA در دمای ۳۱۳/۱۷ درجه کلوین



شکل ۴- مقایسه حلالت H_2S در محلول ۴۶/۷۸ درصد وزنی MDEA در دمای ۳۱۳/۱۶ درجه کلوین



شکل ۵- مقایسه حلالت H_2S در محلول ۱۵ درصد وزنی MEA در دمای ۳۳۳/۱۷ درجه کلوین

شکل ۶- مقایسه حلایت H_2S در محلول $3\frac{1}{3}/15$ درصد وزنی DIPA در دمای $313/15$ درجه کلوین

در مدل کنت هایزنبُرگ توسعه یافته، ضرایب فعالیت تمام مواد (یون‌ها و مولکول‌ها) را واحد در نظر گرفته و پس از محاسبه ثابت تعادل تجزیه آمین، آن را بر حسب غلظت آمین، دما و فشار جزیی گاز اسیدی بیان می‌کنند.

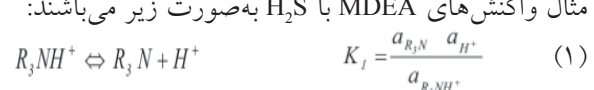
بحث و تفسیر

مدل‌سازی ترمودینامیکی فرایند جذب گازهای اسیدی، به چند دلیل مشکل است [۶]:

- داده‌های تجربی این فرایند که در مقالات مختلف چاپ شده‌اند، با یکدیگر سازگاری ندارند.
- به عنوان مثال، آستگن^۱ و همکارانش [۷] حلایت CO_2 در MDEA با غلظت $4/28$ مولال و دمای $40^{\circ}C$ را در یک نقطه به صورت $P=93/6$ KPa ($\alpha = 0.671$) نسبت مول گاز اسیدی به مول آمین می‌باشد. گزارش کرده‌اند. زو و همکارانش^۲ [۸] حلایت CO_2 در MDEA با غلظت $4/28$ مولال و دمای $40^{\circ}C$ را در همین شرایط، به صورت $P=20$ KPa ($\alpha = 0.78$) گزارش کردند که تقریباً درصد خطا 100% می‌باشد. چاکما^۳ و مایسن [۹] اعدادی را ارائه داده‌اند که از لحاظ فیزیکی مفهومی ندارد و نادرست هستند.
- به دلیل انجام واکنش‌های شیمیایی در فاز مایع، تعداد یون‌ها و مولکول‌های حاضر در این فاز زیاد می‌شود و روابطی که تعادل فازی و شیمیایی آنها را با یکدیگر

مدل ترمودینامیکی

انواع آمین‌ها، واکنش‌های مختلفی را انجام می‌دهند و دو فاز مایع و گاز با یکدیگر در حال تعادل هستند. بنابراین باید تعادلات همزمان فازی و شیمیایی بررسی شوند. واکنش‌های شیمیایی به نوع آمین بستگی دارند. به عنوان مثال واکنش‌های MDEA با H_2S به صورت زیر می‌باشند:



برای نیتروژن و گوگرد موازنۀ اتمی و برای یون‌ها اصل بقاء بارهای الکتریکی را به صورت زیر است:

$$m_N = m_{R_3N} + m_{R_3NH^+} \quad (5)$$

$$m_S = m_{H_2S} + m_{HS^-} + m_{S^{2-}} \quad (6)$$

$$m_{R_3NH^+} + m_{H^+} = m_{OH^-} + m_{HS^-} + 2m_{S^{2-}} \quad (7)$$

که باید تعادلهای فازی را در نظر گرفت:

$$H_2S \cdot P_{H_2S} = a_{H_2S} \cdot H_{H_2S} \quad (8) \quad \text{: تعادل فازی}$$

$$H_2O \cdot P_w = a_w \cdot P_w^S \quad (9) \quad \text{: تعادل فازی}$$

طبق تعریف، رابطه بین فعالیت و ضریب آن را به صورت

زیر می‌توان بیان کرد:

$$a_i = m_i \gamma_i \quad (10)$$

1. Austgen

2. Xu et al

3. Chakma et al

می‌آید. سپس اختلاف این مقدار را با pK_1 (تجربی) به دست آورده و این اختلاف مینیمم می‌شود. ضرایبی که به ازای آنها این اختلاف کمتر می‌شود به عنوان ضرایب معادله (۵) در نظر گرفته می‌شود.

شکل‌های ۷ تا ۱۰، داده‌های pK_1 تجربی و محاسبه شده را برای چهار آمین مورد نظر در تمام دماها به همراه مقدار خطای نشان می‌دهد. از این اشکال مشخص است که مقدار خطای به عدد صفر خیلی نزدیک می‌باشد. ضمناً مقدار AAD از رابطه زیر محاسبه شده است:

$$AAD = \frac{\sum_{i=1}^N \left| \frac{P_{\text{exp}} - P_{\text{cal}}}{P_{\text{exp}}} \right|}{N} \quad (12)$$

بنابراین، مدل استفاده شده برای پیش‌بینی نتایج حلالیت داده‌های گاز سولفید هیدروژن در محلول‌های آبی آلکانول آمین‌های مورد اشاره مناسب می‌باشد.

نشان می‌دهند، از لحاظ ریاضی پیچیده هستند و حل این دستگاه معادلات غیر خطی، دقت زیادی را می‌طلبند به طوری که اگر از روش نیوتن و حدس‌های اولیه مناسب (فوق العاده نزدیک به جواب) استفاده نکنیم، دستگاه واگرا خواهد شد.

مدل مورد استفاده در کار حاضر به شرح زیر است:

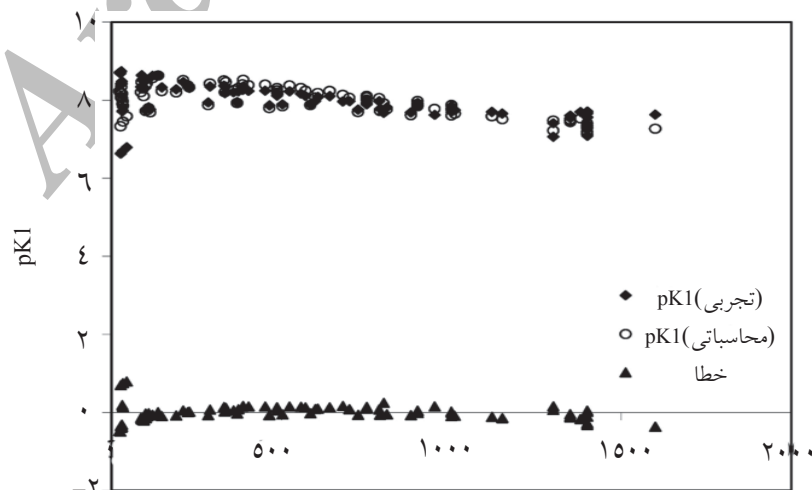
$$pK_1 = A + B \times T + \frac{C}{T} + D \times \ln T + \quad (11)$$

$$E \times [H_2S] + F \ln[H_2S] + G \times [a \text{ min } e]$$

که در رابطه فوق، K_1 ثابت تفکیک آمین (واکنش شماره ۱) و T دمای تعادلی بر حسب درجه کلوین می‌باشد. ضمناً ضرایب مورد استفاده در معادله فوق و AAD براساس آمین مورد استفاده در جدول ۲ آورده شده است. در ابتدا تمامی ضرایب را برابر یک در نظر گرفته و معادله (۵) را حل کرده و یک جواب برای pK_1 (محاسبه شده) به دست

جدول ۲- ضرایب مورد استفاده در معادله ۵ به همراه AAD

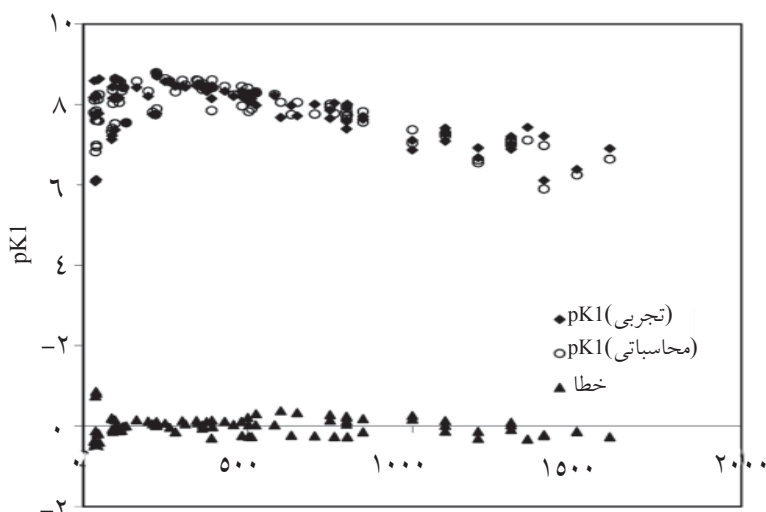
AAD	G	F	E	D	C	B	A	
۱/۹۲	۰/۳۱	۰/۳۰	-۱/۹۶	۲۳/۸۸	-۱۳/۴۱	-۰/۰۹	-۹۹/۹۳	DEA
۱/۷۵	۰/۴۵	۰/۵۰	-۲/۷۹	۴/۲۷	-۹/۹۸	-۰/۰۳	-۴/۶۴	DIPA
۲/۴۸	۰/۴۱	۰/۰۷	-۴/۰۰	۳۳/۰۹	-۱۴/۹۳	-۰/۱۲	-۱۴۲/۱۴	MDEA
۱/۲۷	۰/۲۱	۰/۱۹	-۱/۶۷	۱۶/۰۲	-۱۱/۹۳	-۰/۰۷	-۵۹/۳۶	MEA



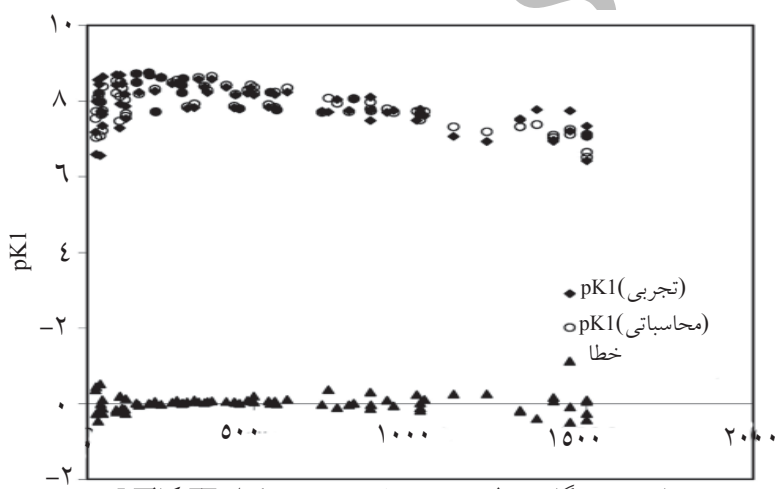
فشار جزئی گاز سولفید هیدروژن بر حسب کیلو پاسکال

شکل ۷- مقایسه pK_1 تجربی و محاسبه شده و مقدار خطای برای محلول DEA

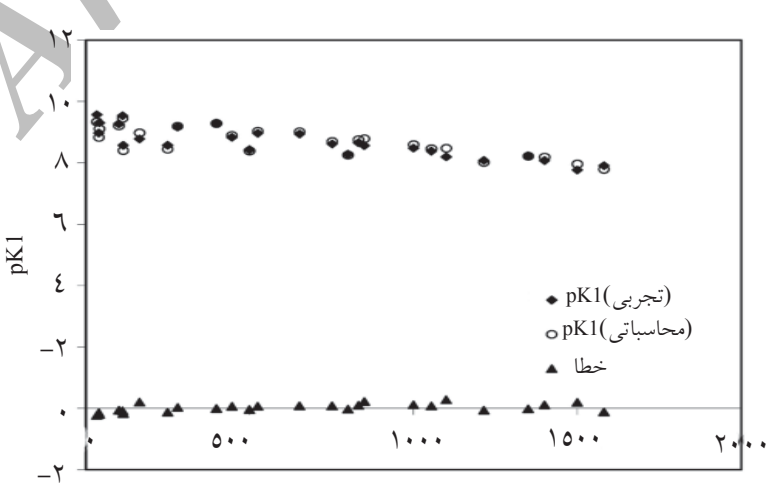
۱. Average Absolute Deviation



فشار جزئی گاز سولفید هیدروژن بر حسب کیلو پاسکال
شکل ۸- مقایسه pK_1 تجربی و محاسبه شده و مقدار خطای محلول MDEA



فشار جزئی گاز سولفید هیدروژن بر حسب کیلو پاسکال
شکل ۹- مقایسه pK_1 تجربی و محاسبه شده و مقدار خطای محلول DIPA



فشار جزئی گاز سولفید هیدروژن بر حسب کیلو پاسکال
شکل ۱۰- مقایسه pK_1 تجربی و محاسبه شده و مقدار خطای محلول MEA

بر حسب دما، فشار جزئی گاز H_2S و غلظت آلکانول آمین به دست آمد. در تمام موارد مشخص شد که مدل کنت-ایزنبرگ توسعه یافته قادر به پیشگویی صحیح ثوابت تعادل مرحله پروتونه شدن هر آلکانول آمین می‌باشد. میانگین متوسط خطای مطلق برای چهار آمین مورد بحث ۱/۸۶ درصد می‌باشد و این نشان از صحت نتایج مدل ارائه شده می‌باشد.

نتیجه‌گیری

داده‌های تعادلی حلایت جذب گاز H_2S در محلول آبی آلکانول آمین‌های مختلف (MEA، MDEA، DIPA و DEA) با استفاده از مدل کنت-ایزنبرگ توسعه یافته مورد بررسی قرار گرفت. در تمام موارد مشخص شد که مدل در شرایط فشار و دمایی وسیعی قابل اعتماد می‌باشد. با استفاده از این روش، ثوابت تعادل مرحله پروتوناسیون آلکانول آمین

منابع

- [1] Xu Y., Schutte R. P. & Helper L.G., “Solubilities of carbon dioxide, hydrogen sulfide and sulfur dioxide in physical solvents”, Can. J. Chem. Eng., Vol. 70, No 3, pp. 569-573, 1992.
- [2] Posey M. L. & Rochelle G. T., “A thermodynamic model of methyldiethanolamine-CO₂-H₂S-water”, Ind. Eng. Chem. Res., Vol. 36, No. 9, pp. 3944-3953, 1997.
- [3] Isaacs E. E., Otto F. D. & Mather A. E., “The solubility of mixtures of carbon dioxide and hydrogen sulphide in an aqueous DIPA solution”, Can. J. Chem. Eng, Vol. 55, No 2, pp. 210-212, 1977.
- [4] Boumedine R. S., Horstmann S., Fischer K., Provost E., Fürst W. & Gmehling J., “Experimental determination of hydrogen sulfide solubility data in aqueous alkanolamine solutions”, Fluid Phase Equilibria, , Vol. 218, No. 1, pp. 149-155, 2004.
- [5] Lee J. I., Otto F. D. & Mather A. E., “Equilibrium in hydrogen sulfide-monoethanolamine-water system”, J. Chem. Eng Data, Vol. 21, No. 2, pp. 207-208, 1976.
- [6] Xu, H.J., Zhang, C.F., Zheng & Z.S., “Selective H₂S removal by nonaqueous methyldiethanolamine solutions in an experimental apparatus”, Ind. Eng. Chem. Res., Vol. 41, No. 12, pp. 2953-2956, 2002.
- [7] Austgen, D.M., Rochelle, G.T. & Chen, C.C., “Model of vapor-liquid equilibria for aqueous acid gas-alkanolamine systems. 2. representation of H₂S and CO₂ solubility in aqueous MDEA and CO₂ solubility in aqueous mixtures of MDEA with MEA or DEA”, Ind. Eng. Chem. Res., Vol. 30, No. 3, pp. 543-555, 1991.
- [8] Xu, G.W., Zhang, C.F., Qin, S.J., Gao, W.H. & Liu, H.B., “Gas-liquid equilibrium in a CO₂-MDEA-H₂O system and the effect of piperazine on it”, Ind. Eng. Chem. Res, Vol. 37, No. 4, pp. 1473-1477, 1998.
- [9] Chakma, A. & Meisen, A., “Solubility of CO₂ in aqueous methyldiethanolamine and N,N-Bis(hydroxyethyl)pipera-zine solutions”, Ind. Eng. Chem. Res., Vol. 26, No. 12, pp. 2461-2466, 1987.